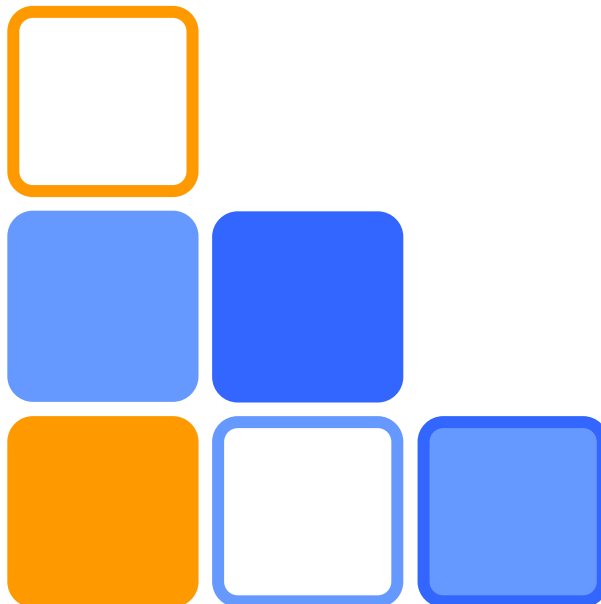
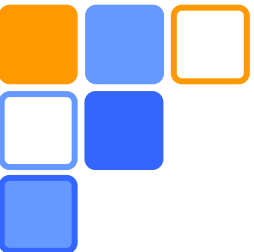


## 薬学情報処理演習 第5回

# 常微分方程式の簡単な解き方 非線形化学振動反応のシミュレーション



奥園 透  
コロイド・高分子物性学



# 微分方程式を数値的に解くには(再掲)

- 微分方程式:  $\frac{dx}{dt} = f(x)$  ( $f(x)$  は与えられた関数)

- 時刻をとびとびの値にとる:

$$t_n = n\Delta t \quad (n = 0, 1, \dots, N)$$

- とびとびの時刻における解の近似値:  $x_n$

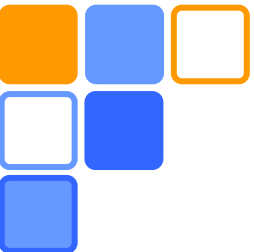
- 微分を“差分”で置き換える:

$$\frac{dx}{dt} \rightarrow \frac{x_{n+1} - x_n}{\Delta t}$$

- 初期値  $x_0$  を与えて、 $x_n$  の値を次々に計算する

$$x_{n+1} = x_n + f(x_n)\Delta t$$

(オイラー差分法)



# 平衡解の安定性

□ 微分方程式  $\frac{dx}{dt} = f(x)$  の平衡解:

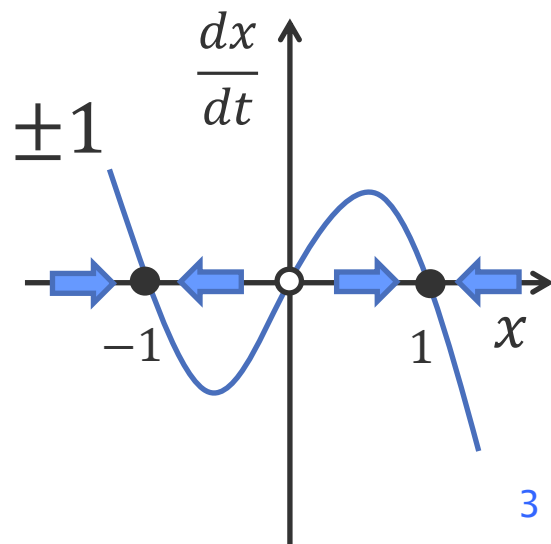
- $f(x) = 0$  を満たす  $x = x^*$  (平衡点)

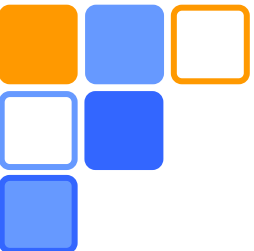
□ 平衡点の安定性

- $t \rightarrow \infty$  で  $x \rightarrow x^*$ : (漸近的に) 安定な平衡点
- $t = 0$  で  $x = x^* + \epsilon$ ,  $t > 0$  で  $x^*$  から遠ざかる: 不安定な平衡点

□ 例:  $\frac{dx}{dt} = x - x^3$  の平衡解:  $x = 0, \pm 1$

- $x = 0$ : 不安定な平衡点
- $x = \pm 1$ : 安定な平衡点





# 振動する解をもつ微分方程式

## □ van der Pol の方程式

$$\frac{d^2x}{dt^2} - \mu(1 - x^2) \frac{dx}{dt} + x = 0 \quad \mu \text{ はパラメータ(正定数)}$$

- 減衰振動の方程式  $\frac{d^2x}{dt^2} + 2K \frac{dx}{dt} + x = 0$  と比べると、第二項は  $x^2 < 1$  のとき加速、 $x^2 > 1$  のとき減速項である。

## □ 2元連立微分方程式として書くと

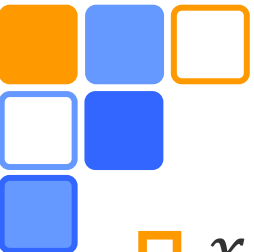
オイラー差分式

$$\frac{dx}{dt} = y$$

$$\frac{dy}{dt} = -x + \mu(1 - x^2)y$$

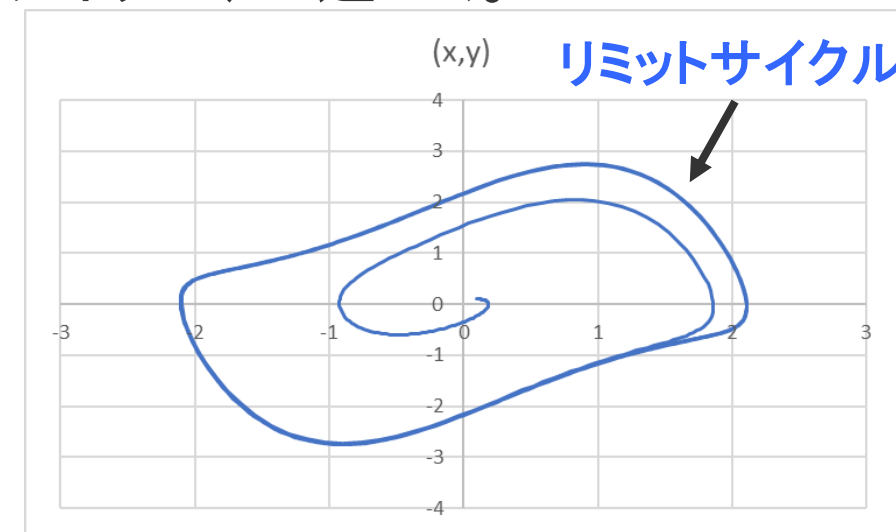
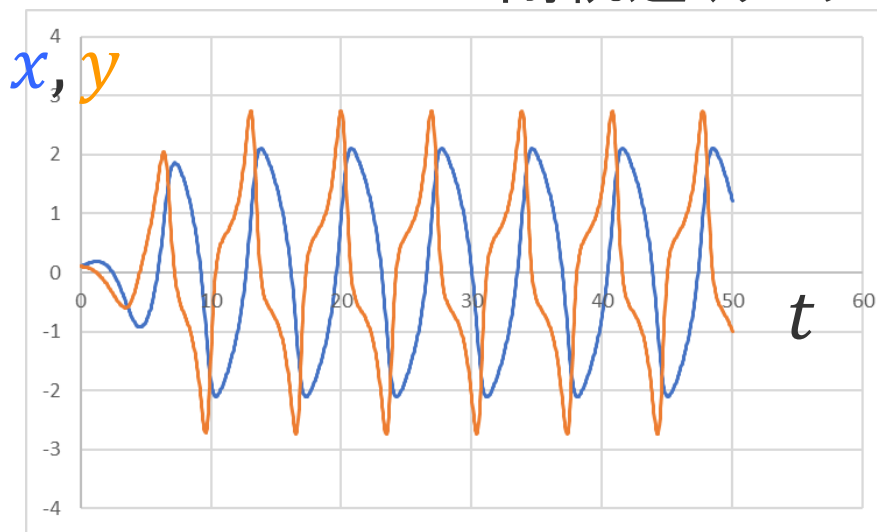
$$x_{n+1} = x_n + y_n \Delta t$$

$$y_{n+1} = y_n - [x_n - \mu(1 - x_n^2)y_n] \Delta t$$



# 解の性質

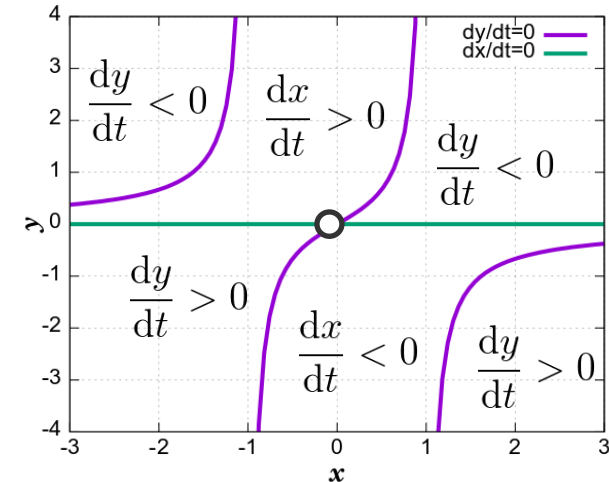
- $x$  と  $y$  の時間変化および解軌道( $x(t), y(t)$ )
  - $t \rightarrow \infty$  で閉軌道(リミットサイクル)に近づく。

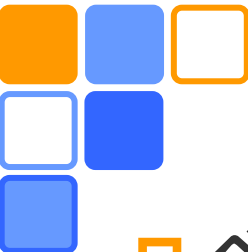


- ヌルクライン:  $\frac{dx}{dt} = \frac{dy}{dt} = 0$

$$y = 0$$

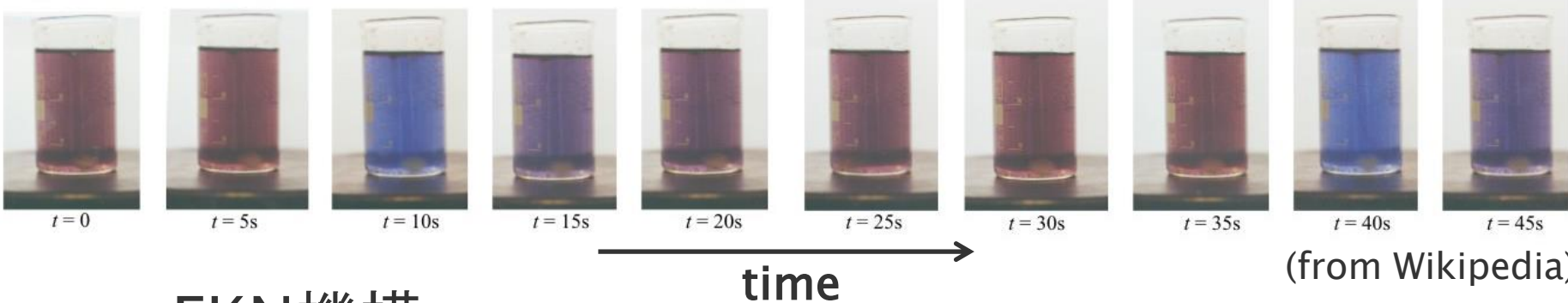
$$y = \frac{x}{\mu(1-x^2)}$$





# 化学振動反応

## □ ベローゾフ・ジャボチンスキー反応(BZ反応)



## □ FKN機構

振動に関与する反応



10個の反応式

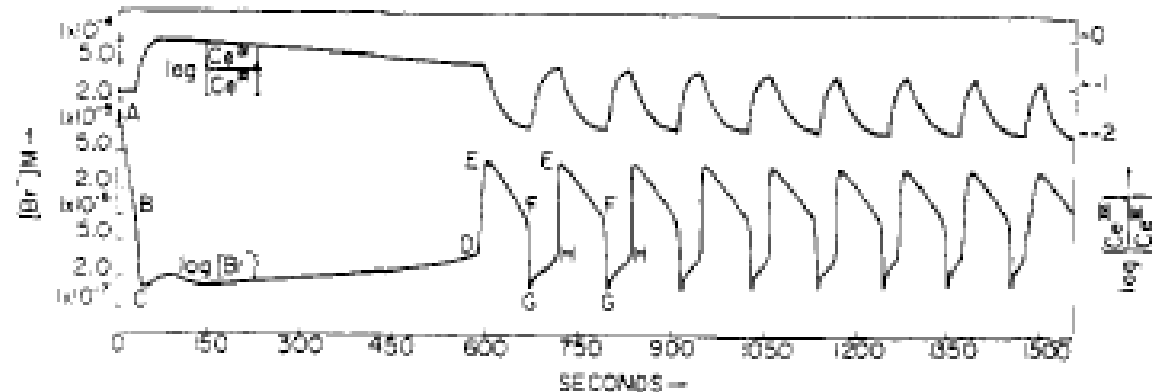
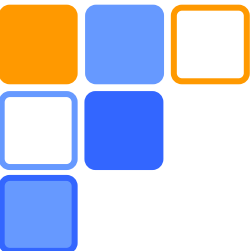


Figure 1. Potentiometric traces of  $\log [\text{Br}^-]$  and  $\log [\text{Ce(IV)}]/[\text{Ce(III)}]$  for a representative reaction exhibiting all six periods. Initial concentrations were  $[\text{CH}_3(\text{COOH})_2]_0 = 0.032 \text{ M}$ ,  $[\text{KBrO}_3]_0 = 0.063 \text{ M}$ ,  $[\text{KBr}]_0 = 1.5 \times 10^{-3} \text{ M}$ ,  $[\text{Ce}(\text{NH}_4)_2(\text{NO}_3)_6]_0 = 0.001 \text{ M}$ ,  $[\text{H}_2\text{SO}_4]_0 = 0.8 \text{ M}$ .

[R. J. Field, E. Körös, R. M. Noyes, J. Am. Chem. Soc. 94, 8649 (1972)]



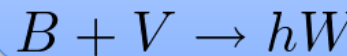
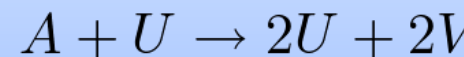
# BZ反応のモデル

## □ オレゴネーター

- 10以上の反応式

→ 5つの反応式

## □ 2変数モデル(タイソン)



$$A = [\text{BrO}_3^-],$$

$$B = [\text{BrCH}(\text{COOH})_2],$$

$$P = [\text{HOBr}],$$

$$U = [\text{HBrO}_2],$$

$$V = [\text{Ce}^{4+}],$$

$$W = [\text{Br}^-]$$

$$\epsilon \frac{du}{dt} = u(1-u) - \frac{bv(u-c)}{u+c}$$

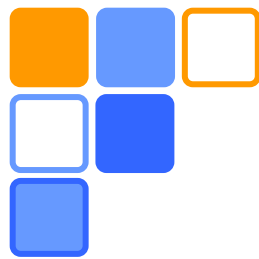
$$\frac{dv}{dt} = u - v$$

$$\epsilon \simeq 10^{-2}$$

$$b \simeq 1$$

$$c \simeq 8 \times 10^{-4}$$

- $u, v$  はそれぞれ  $\text{HBrO}_2, \text{Ce}^{4+}$  の濃度に対応
- $t$  は無次元化された時間、 $\epsilon, b, c$  は定数  
(時間スケール～50 sec)



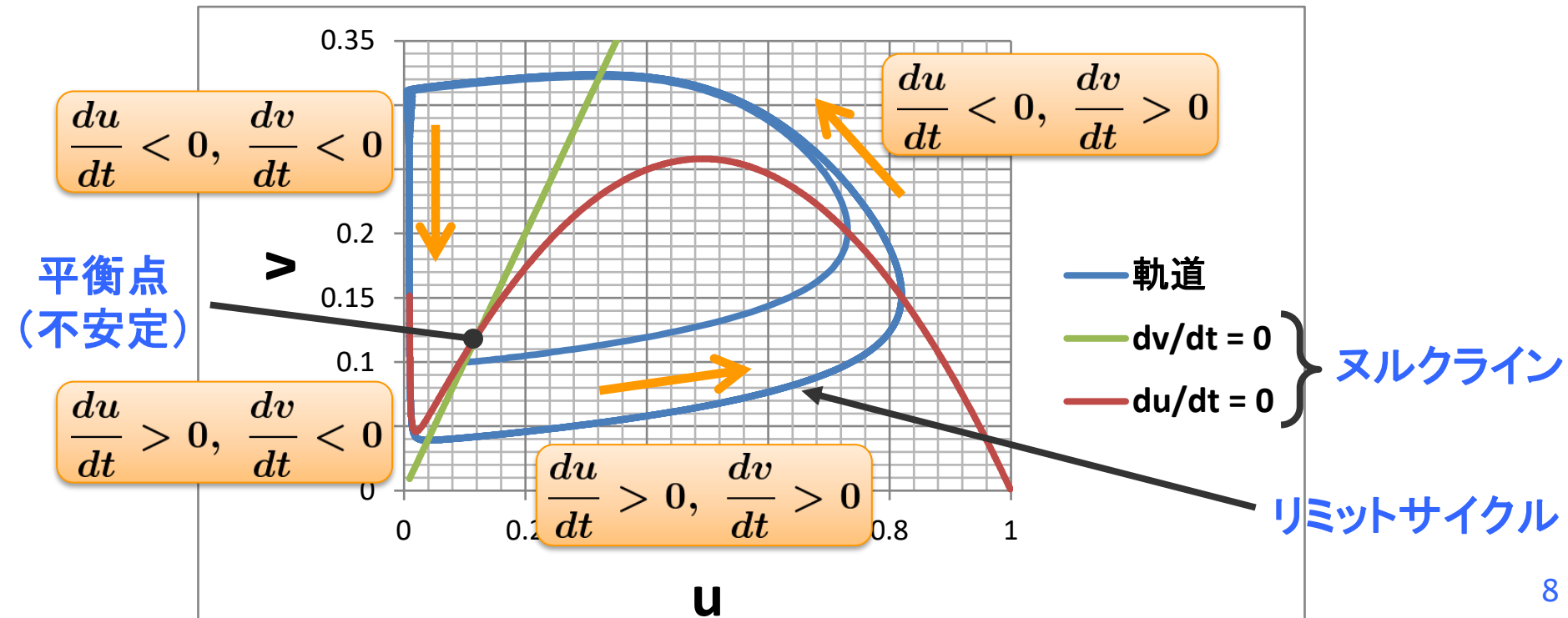
# 振動(力学系)の特徴

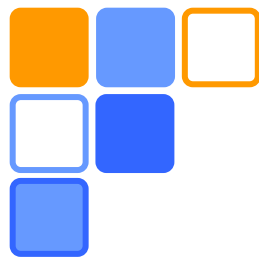
## □ 平衡点の安定性

- 平衡点:  $du/dt = dv/dt = 0$  となる  $(u, v)$
- 時間とともに平衡点に近づく: **安定**、遠ざかる: **不安定**

## □ リミットサイクル振動

- 初期値によらず閉じた軌道(**リミットサイクル**)に近づく

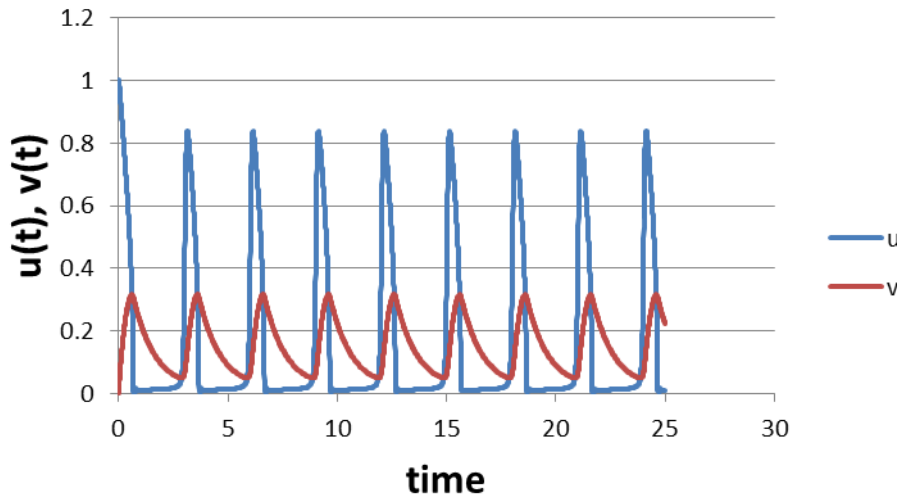




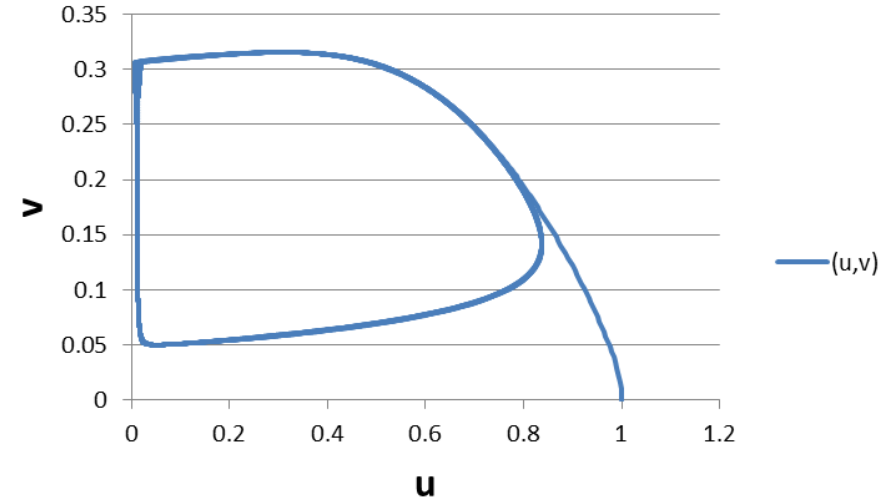
# 数値シミュレーション

- オイラー差分法を用いてシミュレーションを行う。
- いろいろなパラメータや初期値に対して計算する。

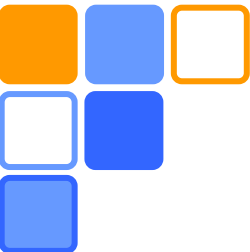
u, v の時間変化



軌道図



パラメータ:  $\epsilon=0.03$ ,  $b=1$ ,  $c=0.01$ ,  $\Delta t=0.005$   
初期値:  $u=1$ ,  $v=0$



# 数値スキーム

## □ モデル方程式

$$\frac{du}{dt} = f(u, v)$$

$$\frac{dv}{dt} = g(u, v)$$

$$f(u, v) = \frac{1}{\epsilon} \left[ u(1 - u) - \frac{bv(u - c)}{u + c} \right]$$

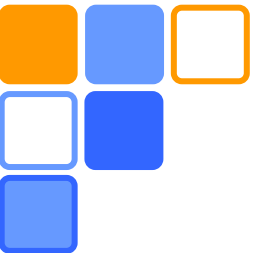
$$g(u, v) = u - v$$

## □ オイラー差分法

$$(u_n, v_n) = (u(t_n), v(t_n)) \quad t_n = n\Delta t \quad (n = 0, 1, \dots, N)$$

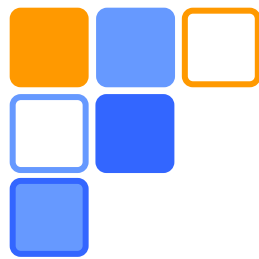
$$u_{n+1} = u_n + f(u_n, v_n)\Delta t$$

$$v_{n+1} = v_n + g(u_n, v_n)\Delta t$$



## 演習課題

- オレゴネーター(2変数モデル)によるシミュレーションを行い、リミットサイクル振動するばあいについて  $u(t)$ ,  $v(t)$  の時間変化のグラフと軌道図を描く。初期値を変えて行い、同じリミットサイクルに近づくことを確かめる。
- リミットサイクル振動でない場合の  $u(t)$ ,  $v(t)$  の時間変化のグラフおよび軌道図を描く。用いたパラメータの値も記す。
- 上記の課題をレポートとしてA4用紙1枚にまとめ、学籍番号、氏名(自筆)を明記してこの時間内に提出。



## 参考文献

- S.スメール, M.W.ハーシュ(田村一郎, 水谷忠良, 新井紀久子 訳)『力学系入門』岩波書店(1976)
- 笠原皓司『微分方程式の基礎』朝倉書店(1982)
- 三井斌友, 小藤俊幸『常微分方程式の解法』共立出版(2000)
- 太田隆夫『非平衡系の物理学』裳華房(2000)